

©1995 г.

## ДИНАМИКА ТЕРМИЧЕСКОЙ ГЕНЕРАЦИИ СВОБОДНЫХ НОСИТЕЛЕЙ ЗАРЯДА У ГРАНИЦЫ РАЗДЕЛА ПОЛУПРОВОДНИК–ДИЭЛЕКТРИК В УСЛОВИЯХ РЕЛАКСАЦИИ ЗАСЕЛЕННОСТИ ОБЪЕМНЫХ ЦЕНТРОВ ГЕНЕРАЦИИ

*С.Г.Дмитриев, А.Г.Ждан, Н.Ф.Кухарская, Ю.В.Маркин*

Институт радиотехники и электроники Российской академии наук,  
141120, Фрязино, Россия  
(Получена 23 августа 1994 г. Принята к печати 21 февраля 1995 г.)

Рассмотрен процесс изотермической релаксации структур металл-диэлектрик-полупроводник от состояния обогащения к состоянию инверсии в режиме линейного со временем изменения потенциала полевого электрода  $V_g$  с учетом временной эволюции заселенности локализованных электронных состояний — центров генерации неосновных носителей заряда. Показано, что нестационарность заселенности этих состояний проявляется наиболее ярко на начальных этапах релаксации в формах резкого излома зависимости ширины области пространственного заряда полупроводника от  $V_g$  и уменьшения скорости нарастания тока. Выявлены условия, при которых эффекты нестационарности оказываются существенными. Установлено, в частности, что это имеет место, когда концентрация объемных центров генерации превышает концентрацию легирующей примеси. В таких условиях классическое описание динамической характеристики  $I(V_g)$  оказывается неприменимым.

Исследование динамики отклика структур металл-диэлектрик-полупроводник (МДП) на линейное со временем изменение потенциала  $V_g$  полевого электрода позволяет получать обширную информацию об электронных свойствах области границы раздела полупроводник-диэлектрик [1]. Теоретический анализ кинетики тока  $I(t)$ , протекающего во внешней цепи МДП структуры при изменении  $V_g$  по закону  $V_g = V_{g0} + \beta t$  ( $t$  — время,  $\beta = dV_g/dt = \text{const}$ ,  $V_{g0}$  — начальное напряжение), проводился, как правило, в пренебрежении временной эволюцией (релаксацией)<sup>1</sup> заселенности локализованных электронных состояний (ЛЭС), являющихся центрами генерации электронов и (или) дырок [2–4]. Некоторые оценки условий применимости расчетов [2–4]

<sup>1</sup> При теоретическом описании динамических характеристик  $I(V_g)$  заполнение центров генерации считается стационарным.

выполнены в [5,6], однако последовательный учет релаксации заполнения глубоких объемных центров генерации свободных носителей заряда, обусловленной конечностью времени их опустошения, до сих пор не проводился. В этой связи представляется интересным и существенным следующий далее анализ условий и форм проявления в кинетике тока  $I(V_g)$  эффектов нестационарной заселенности ЛЭС.

Рассмотрим процесс изотермической релаксации МДП структуры, для определенности, на основе электронного полупроводника от состояния обогащения к состоянию неравновесного обеднения. Пусть полупроводник, помимо основной легирующей примеси с концентрацией  $N_d$ , содержит глубокие объемные доноры с концентрацией  $N_D$  и глубиной  $E_D$ , а плотность ЛЭС на межфазной границе раздела (ГР) полупроводник-диэлектрик пренебрежимо мала. Иными словами, считается, что в системе имеется единственный канал генерации свободных носителей заряда (электронов и дырок), обусловленный присутствием глубоких доноров в области пространственного заряда (ОПЗ) полупроводника.

Очевидно, что в этих условиях процесс рождения электронно-дырочных пар начинается в момент времени  $t_0$ , когда текущее значение  $V_g$  ( $V_g < 0$ ,  $V_g > 0$ ,  $\beta < 0$ ) будет отвечать изгибу зон в полупроводнике, при котором глубокий объемный донор у ГР окажется на расстоянии порядка  $kT$  ( $k$  — постоянная Больцмана,  $T$  — температура) от уровня Ферми  $F$  полупроводника. С увеличением  $|V_g|$  изгиб зон, а следовательно, и степень обеднения поверхности полупроводника возрастают, а точка пересечения  $z = z_D$  уровня  $E_D$  с уровнем Ферми  $F$  смещается в глубь ОПЗ, где  $z$  — координата в направлении нормали к ГР

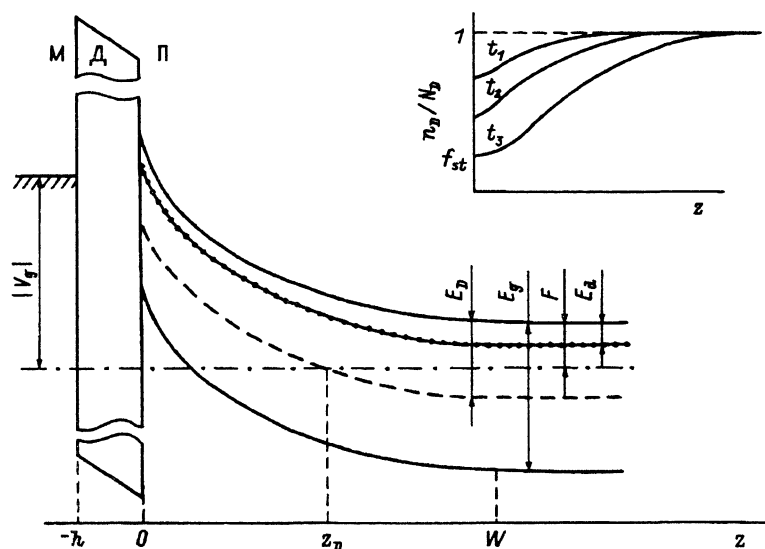


Рис. 1. Зонная диаграмма МДП структуры в состоянии неравновесного обеднения. М — металл (полевой электрод), Д — диэлектрик, П — полупроводник. Прочие обозначения определены в тексте. На вставке показан качественный вид координатной зависимости функции заполнения глубокого донора  $n_D(z)$  в различные моменты времени ( $t_1 < t_2 < t_3$ );  $f_{st} = n_D^{st}/N_D$ , где  $n_D^{st}$  — стационарное заполнение уровня  $E_D$ .

(рис. 1). Из-за конечности времени генерации электронов и дырок термическая эмиссия свободных частиц последовательно-послойно запаздывает (при движении в направлении от плоскости ГР ( $z = 0$ ) к плоскости  $z = z_D(t)$ ).<sup>2</sup> Этим обуславливается появление градиента функции заполнения  $n_D(z)$  глубокого уровня  $dn_D(z)/dz$  вдоль оси  $z$ , изменяющегося со временем вследствие отсутствия баланса между темпами термической делокализации электронов  $n_D(z)/\tau_n$  и дырок  $[N_D - n_D(z)]/\tau_p$  ( $dn_D(z)/dt < 0$ ). Поэтому соответствующее уравнение кинетики имеет вид

$$\frac{dn_D(z)}{dt} = -\frac{n_D(z)}{\tau_n} + \frac{N_D - n_D(z)}{\tau_p}. \quad (1)$$

Здесь  $\tau_n = (v_{th}\sigma_n N_c)^{-1} \exp(E_D/kT)$ ,  $\tau_p = (v_{th}\sigma_p N_v)^{-1} \exp[(E_g - E_D)/kT]$ ,  $v_{th}$  — тепловая скорость электронов,  $\sigma_n, \sigma_p$  — сечения захвата электронов и дырок соответственно,  $N_c, N_v$  — эффективные плотности состояний в зоне проводимости и в валентной зоне,  $E_g$  — ширина запрещенной зоны полупроводника.

Решение уравнения (1), описывающее временную эволюцию функции  $n_D(z)$  при  $z < z_D$ , имеет вид

$$n_D(z) = N_D \left\{ \frac{\tau_n}{\tau_n + \tau_p} + \frac{\tau_p}{\tau_n + \tau_p} \exp \left[ -\frac{t - t^*(z)}{\tau_{st}} \right] \right\}, \quad (2)$$

где  $\tau_{st} = \tau_n \tau_p / (\tau_n + \tau_p)$ ,  $t^*(z)$  — суть начальные условия к (1) — времена последовательно-послойного запаздывания термогенерации свободных частиц. Для данного слоя шириной  $dz$ , расположенного у плоскости  $z = z'$ , величина  $t^*(z')$  фиксирует момент времени, в который этот слой проходил через плоскость  $z' = z_D$  (значения  $t^*(z)$  отсчитываются от момента времени  $t^*(0) = t_0$ ). Из (1) явствует, что первое слагаемое в (2) описывает состояние стационарной заселенности уровня в пределах данного слоя ( $dn_D(z)/dt = 0$ ), а второе — процесс релаксации к этому состоянию, протекающий с характерным временем  $\tau_{st}$ .

Стационарное состояние, очевидно, прежде всего установится у ГР, а затем с течением времени будет распространяться в глубь ОПЗ. Качественный вид функции  $n_D(z, t)$  иллюстрирует вставка на рис. 1. С увеличением  $|V_g|$  темп рождения дырок возрастает как из-за расширения зоны генерации ( $0 < z < z_D(t)$ ), так и из-за перехода приграничных слоев полупроводника к стационарному режиму образования электронно-дырочных пар.<sup>3</sup> В результате скорость увеличения ширины области пространственного заряда  $W$  будет резко уменьшаться, тогда как скорость расширения зоны стационарной генерации останется неизменной, поскольку она определяется согласно (2) только характерным временем  $\tau_{st}$ .

Оценим условия реализации динамических характеристик  $I(V_g)$ , при которых оказывается существенной релаксация заселенности центров генерации дырок. С этой целью проанализируем в начале, следуя

<sup>2</sup> Максимальное запаздывание, естественно, имеет место для слоя с текущей координатой  $z = z_D(t)$  по отношению к слою  $z = 0$ .

<sup>3</sup> Последнее явствует, в частности, из выражения (2): с течением времени заполнение уровня  $n_D(z)$  уменьшается, приближаясь к стационарному, и темп генерации дырок  $[N_D - n_D(z)]/\tau_p$  соответственно растет.

[<sup>2</sup>], зависимость  $W(t)$  в режиме стационарной генерации неосновных носителей заряда. Согласно [<sup>2</sup>],

$$W(t) \simeq W_\infty - (W_\infty - \Delta z_D) \exp(-t/\tau_0),$$

где

$$W_\infty = \Delta z_D - \beta C_i \tau_g / q n_i$$

— стационарное значение  $W$ , при котором уравниваются интегральный темп рождения дырок  $G_p$  по всей зоне  $[0, z_D(t)]$  и темп изменения заряда на полевом электроде  $d\sigma_{Me}/dt$  т. е. ( $G_p = |d\sigma_{Me}/dt|$ );

$$\Delta z_D = [\kappa_s(E_D - F)/2\pi q^2 N_d]^{1/2} = \text{const}$$

— расстояние между плоскостью  $z = z_D(t)$  и краем ОПЗ,  $\tau_0 = \tau_g N_d (1 + \kappa_i W_\infty / \kappa_s h) / n_i$ ,  $q$  — элементарный заряд,  $\kappa_s$  и  $\kappa_i$  — диэлектрические проницаемости полупроводника и диэлектрика соответственно,

$$\tau_g = n_i (\tau_n + \tau_p) / N_D = 2 \text{ch}[(E_i - E_D)/kT] / [v_{th}(\sigma_n \sigma_p)^{1/2} N_D],$$

$$2E_i = E_g + kT \ln(\sigma_n N_c / \sigma_p N_v), \quad n_i = (N_c N_v)^{1/2} \exp(-E_g/2kT),$$

$C_i$  и  $h$  — емкость и ширина диэлектрического промежутка МДП конденсатора. Следовательно,  $W(t)$  стремится к стационарному значению  $W_\infty$  с характерным временем  $\tau_0$ .

С другой стороны, поскольку время, за которое достигается стационарное заполнение глубокого уровня у ГР ( $z = 0$ ), равно  $\tau_{st}$ , в случае, когда выполнено условие  $\tau_0 \gg \tau_{st}$ , преобладает процесс стационарной генерации дырок, а при  $\tau_0 < \tau_{st}$  или при условии

$$\frac{N_D}{N_d} > 4 \left( 1 + \frac{\kappa_i W_\infty}{\kappa_s h} \right) \text{ch}^2 \left( \frac{E_i - E_D}{kT} \right) \quad (3)$$

должна проявляться нестационарность заселенности глубокого уровня. Легко убедиться, что правая часть неравенства (3) всегда больше единицы. Это означает, что эффекты нестационарности будут наиболее заметны, если концентрация  $N_D$  превышает концентрацию легирующей примеси. Поэтому при вычислении динамических характеристик  $I(V_g)$  в таком случае имеет смысл учитывать вклад ионизированной части глубокого донора в полный заряд ОПЗ.

Определим в приближении слоя обеднения Шоттки максимальную величину  $N_D = N_D^{\text{max}}$ , при которой концентрация ионизированных глубоких доноров  $N_D^+$  в области  $z > z_D$  еще не превышает концентрацию мелкой примеси.<sup>4</sup> Вследствие электронейтральности объема полупроводника при принятых ранее условиях  $\exp[-(F - E_d)/kT] \ll 1$ ,  $\exp[-(F - E_D)/kT] \gg 1$  и в пренебрежении концентрацией неосновных носителей заряда [ $E_D < E_g - kT \ln(N_v/N_D)$ ] имеем

$$N_D + N_D \exp[(F - E_D)kT] = N_c \exp(-F/kT),$$

<sup>4</sup> В противоположном случае уравнение кинетики (1) не будет адекватно описывать динамику опустошения глубокого донора в области  $z_D < z < W$ .

где  $E_d$  — энергия ионизации мелкого донора. Отсюда следует

$$\exp(F/kT) = N_d[(1+4N_D^*N_c/N_d^2)^{1/2}-1]/2N_D^*, \quad N_D^* = N_D \exp(-E_D/kT).$$

Наиболее реален случай, когда положение уровня Ферми в объеме полупроводника определяется мелкой примесью  $F = kT \ln(N_c/N_d)$ , имеющий место при условии  $4N_D^*N_c/N_d^2 \ll 1$  (при противоположном знаке неравенства величина  $N_D^+$  будет существенно превышать  $N_d$  даже в электронейтральной области полупроводника). В этом случае первый интеграл уравнения Пуассона

$$d^2v/d\zeta^2 = 1 - e^{-v} + \lambda/[1 + \gamma e^{-v}]$$

имеет вид

$$(dv/d\zeta)^2 = 2\{v + e^{-v} - 1 + \lambda \ln[(e^v + \gamma)/(1 + \gamma)]\}.$$

Здесь  $v = -q\varphi/kT$ ,  $\zeta = z/L_D$ ,  $L_D = (\kappa_s kT/4\pi q^2 N_d)^{1/2}$ ,  $\lambda = N_D/N_d$ ,  $\gamma = \exp[-(F - E_D)/kT] \gg 1$ . В приближении Шоттки (большие изгибы зон)  $v \gg |\exp(-v) - 1|$ . Для того чтобы заряд  $qN_D^+$  не вносил вклада в слой ОПЗ, расположенный между плоскостями  $z = z_D$  и  $z = W$  ( $z_D \leq z \leq W$ ), очевидно, необходимо во всем этом слое удовлетворить неравенство  $v \gg \lambda \ln\{[\exp(v) + \gamma]/(1 + \gamma)\}$ . В плоскости  $z = z_D$  изгиб зон таков, что  $v = (E_D - F)/kT = \ln \gamma \gg 1$  и

$$\lambda \ln\{[\exp(v) + \gamma]/(1 + \gamma)\} = \lambda \ln[2\gamma/(1 + \gamma)] \simeq \lambda \ln 2.$$

Следовательно

$$(dv/d\zeta)^2 \Big|_{\zeta=z_D/L_D} \simeq (E_D - F)/kT + \lambda \ln 2.$$

Очевидно, что

$$(dv/d\zeta)^2 \Big|_{\zeta=z_D/L_D} \simeq (E_D - F)/kT$$

при условии

$$\frac{N_D}{N_d} \ll \frac{E_D - F}{kT \ln 2}, \quad (4)$$

которое и определяет искомую величину  $N_D^{\max} \simeq N_d(E_D - F)/kT \ln 2$ . Таким образом, при  $N_D < N_D^{\max}$  расчет изгиба зон в полупроводнике можно проводить в пренебрежении зарядом глубоких доноров в области  $z > z_D$ .

Теперь следует выяснить ограничения для значений  $E_D$  и  $\beta$ , обусловленные принятыми нами приближениями. Из соотношений (3) и (4) явствует, что значение  $E_D$  должно удовлетворять неравенству

$$\text{ch}^2 \left( \frac{E_i - E_D}{kT} \right) < \frac{E_D - F}{4kT \ln 2}. \quad (5)$$

Соответственно из (3) вытекает ограничение на максимальную величину  $|\beta| = |\beta_{\max}|$ , которую нетрудно оценить, обращая (3), (4) в равенство

$$|\beta_{\max}| = \frac{q\kappa_s h N_d}{\kappa_i C_i (\tau_n + \tau_p)} \frac{(E_D - F)}{kT \ln 2} \left[ \frac{(E_D - F)}{4kT \ln 2} \operatorname{ch}^2 \left( \frac{E_i - E_D}{kT} \right) - \frac{\kappa_i \Delta z_D}{\kappa_s h} - 1 \right].$$

Следовательно, для типичных МДП структур на Si ( $N_D = 10^{14} \div 10^{15} \text{ см}^{-3}$ ,  $h = 10^{-5} \text{ см}$ ,  $\sigma_n = \sigma_p = 10^{-15} \text{ см}^2$ ,  $\tau_n \simeq \tau_p$ ) при 300 К глубокий донор не может, согласно (5), находиться вне полосы энергий  $\pm 1.5kT$ , центрированной относительно середины запрещенной зоны кремния, а значения  $|\beta_{\max}|$  в пределе  $E_D = E_i$  должны быть меньше  $6.5 \div 65 \text{ В/с}$  соответственно. При этих условиях  $N_D^{\max} \simeq 18N_d$ , т. е. равно  $1.8 \cdot 10^{15}$  ( $N_d = 10^{14} \text{ см}^{-3}$ ) и  $1.8 \cdot 10^{16} \text{ см}^{-3}$  ( $N_d = 10^{15} \text{ см}^{-3}$ ) соответственно.

Получим в явном виде уравнение для зависимости  $W(t)$ . Найдем в начале полный ток  $I$ , вытекающий из полупроводниковой обкладки конденсатора. В соответствии с уравнением непрерывности

$$I - I_n = -d\sigma/dt|_{z=W} = -qN_d dW/dt,$$

т. е.  $I = I_n - qN_d dW/dt$ , где  $I_n$  — суммарный поток электронов, исходящий из ОПЗ шириной  $z_D$ . В отсутствие перезахвата

$$I_n = \int_0^{z_D} dj_n, \quad dj_n = -q(n_D/\tau_n) dz.$$

Учитывая (2), находим

$$I = -q \frac{n_i}{\tau_g} \int_0^{z_D} \left\{ 1 + \frac{\tau_p}{\tau_n} \exp \left[ -\frac{t - t^*(z)}{\tau_{st}} \right] \right\} dz - qN_d \frac{dW}{dt}. \quad (6)$$

В приближении слоя обеднения Шоттки поверхностный потенциал равен

$$\varphi_s = -2\pi q N_d W^2 / \kappa_s - 4\pi q / \kappa \int_0^{z_D} z(N_D - n_D) dz.$$

Дифференцируя это выражение по времени с учетом (1), (2) и подставляя результат в общее выражение для тока

$$I = C_i \left( \frac{dV_g}{dt} - \frac{d\varphi_s}{dt} \right), \quad (7)$$

имеем

$$I = \beta C_i + qN_d \frac{\kappa_i W}{\kappa_s h} \frac{dW}{dt} + \frac{qN_D \kappa_i}{\kappa_s h} \frac{1}{\tau_n} \int_0^{z_D} z \exp \left[ -\frac{t - t^*(z)}{\tau_{st}} \right] dz. \quad (8)$$

Искомое уравнение получается при приравнении правых частей (6) и (8):

$$N_d \left( 1 + \frac{\kappa_i W}{\kappa_s h} \right) \frac{dW}{dt} + \frac{n_i}{\tau_g} \left( 1 + \frac{\tau_p}{\tau_n} \right) \frac{\kappa_i}{\kappa_s h} \mathcal{M} = \frac{n_i}{\tau_g} (W_\infty - W) - \frac{n_i \tau_p}{\tau_g \tau_n} \mathcal{K},$$

$$W(0) = \Delta z_D. \quad (9)$$

Свойства решения (9) определяются поведением двух функций

$$\mathcal{K}(t) = \int_0^{z_D} \exp \left[ -\frac{t - t^*(z)}{\tau_{st}} \right] dz$$

(см. (6)) и

$$\mathcal{M}(t) = \int_0^{z_D} z \exp \left[ -\frac{t - t^*(z)}{\tau_{st}} \right] dz$$

(см. (8)). Легко убедиться, что эти функции удовлетворяют дифференциальным уравнениям

$$\frac{d\mathcal{K}}{dt} + \frac{\mathcal{K}}{\tau_{st}} = \frac{dW}{dt}, \quad \mathcal{K}(0) = 0 \quad (10)$$

и

$$\frac{d\mathcal{M}}{dt} + \frac{\mathcal{M}}{\tau_{st}} = (W - \Delta z_D) \frac{dW}{dt}, \quad \mathcal{M}(0) = 0. \quad (11)$$

Таким образом, система уравнений (9)–(11) полностью определяет поведение зависимости  $W(t)$  и тем самым динамическую характеристику  $I(V_g)$ . Проанализируем на ее основе поведение функций  $W(t)$  и  $I(V_g)$  в условиях проявления нестационарности заселенности глубокого донора (см. неравенства (3), (4)). В рассматриваемой ситуации ширина ОПЗ полупроводника рано или поздно достигнет стационарного значения  $W_\infty$ , которое принципиально должно превышать равновесную толщину слоя обеднения  $W_{eq}$ , отвечающую состоянию сильной инверсии. Поэтому в дальнейшем следует учитывать условие  $W_\infty \gg W_{eq}$ . С другой стороны, поскольку при  $E_D \simeq E_i$  для типичных значений  $N_d$ , использованных в предыдущих оценках,  $\Delta z_D \simeq W_{eq}$ , в выражениях, фигурирующих в последующем анализе, члены, содержащие  $\Delta z_D$ , можно опускать.

Дифференцируя (9) по  $t$ , учитывая (10), (11), а также (9) и (3), имеем

$$\left( \frac{du}{d\vartheta} \right) + u \frac{d^2 u}{d\vartheta^2} + \left( 1 + \frac{\tau_p}{\tau_n} \right) y_\infty u \frac{du}{d\vartheta} = \frac{\tau_0}{\tau_{st}} (1 - u). \quad (13)$$

Здесь  $u = (1 + \kappa_i W / \kappa_s h) / y_\infty$ ,  $\vartheta = t / \tau_0$ ,  $y_\infty = 1 + \kappa_i W_\infty / \kappa_s h$ . Поскольку в рассматриваемой ситуации  $\tau_0 / \tau_{st} < 1$ , правой частью (13) на начальных этапах релаксации можно пренебречь. Полагая  $\tau_p = \tau_n$  (так как  $E_D = E_i$ ), интегрируя (13) один раз с учетом начальных условий

$$u(0) = y_\infty^{-1}, \quad \left. \frac{du}{d\vartheta} \right|_{\vartheta=0} = y_\infty - 1,$$

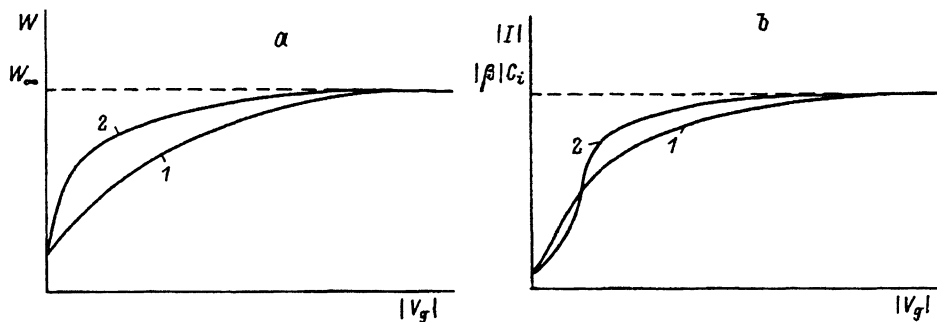


Рис. 2. Качественный вид зависимостей  $a - W(V_g)$  и  $b - I(V_g)$  в условиях стационарной (1) и нестационарной (2) заселенности центров генерации.

находим

$$\frac{du}{d\vartheta} = \frac{1 - y_\infty u^2}{u}. \quad (14)$$

Легко убедиться, что при  $u_0 = (y_\infty)^{-1/2}$  уравнение (14) превращается в тождество, т. е. с ростом  $\vartheta$  функция  $u(\vartheta)$  асимптотически стремится к  $u_0$ . Интегрируя (14), имеем

$$1 - y_\infty u^2 = y_\infty^{-1}(y_\infty - 1) \exp(-2y_\infty \vartheta). \quad (15)$$

Таким образом в начале релаксации функция  $u(\vartheta)$  монотонно возрастает с характерным временем  $\tau^* < \tau_0$ . При  $\vartheta > \tau^*/\tau_0$  производные  $(du/d\vartheta)$  и  $(d^2u/d\vartheta^2)$  резко уменьшаются, правая часть (13) становится существенной и зависимость  $u(\vartheta)$  перестает описываться уравнением (14). Между тем при  $\vartheta > \tau^*/\tau_0$  становится справедливым неравенство  $(\tau_{st}/W)(dW/dt) \ll 1$ , и при  $t > \tau_{st}$  решение уравнений (10) и (11) имеет вид

$$K(t) = \int_0^t (dW/dt') \exp[-(t-t')/\tau_{st}] dt' \simeq \tau_{st} (dW/dt)$$

и

$$M(t) = \int_0^t W(t') (dW/dt') \exp[-(t-t')/\tau_{st}] dt' \simeq \tau_{st} W (dW/dt).$$

Принимая во внимание эти выражения и условие (3), представим уравнение (9) в форме

$$N_d \left( 1 + \frac{\kappa_i W^*}{\kappa_s h} \right) \frac{dW^*}{dt^*} = \frac{n_i}{\tau_g} (W_\infty^* - W^*), \quad (16)$$

где  $W^* = (1 + \tau_n/\tau_p)W$ ,  $t^* = (N_d/n_i)(\tau_g/\tau_{st})(\tau_n/\tau_p)t$ ,  $W_\infty^* = (1 + \tau_n/\tau_p)W_\infty$ . Это уравнение оказывается аналогичным уравнению, описывающему динамику поведения ширины ОПЗ в условиях стационарной генерации неосновных носителей заряда [2]. Следовательно, с ростом  $t^*$



функция  $W^*(t^*)$  экспоненциально возрастает с характерным временем  $\tau_0^* = \tau_g N_d (1 + \kappa_i W_a^* / \kappa_s h) / n_i$  к своему предельному значению  $W_\infty^*$ . Возвращаясь к исходным переменным  $W$  и  $t$ , находим, что зависимость  $W(t)$  асимптотически стремится к величине  $W_\infty$  с характерным временем  $p\tau_0$ , где коэффициент

$$p = (\tau_{st}/\tau_0)(\tau_p/\tau_n)(1 + \kappa_i W_\infty^* / \kappa_s h). \quad (17)$$

Поскольку  $\tau_{st}/\tau_0 > 1$  функция  $W(t)$  при  $t > \tau^*$  асимптотически приближается к уровню  $W_\infty$  более полого, чем в режиме стационарной генерации [2].

На рис. 2 качественно сопоставлены зависимости  $W(V_g)$  и  $I(V_g)$ , соответствующие рассмотренному случаю, с функциями  $W(V_g)$  и  $I(V_g)$ , отвечающими условиям стационарной генерации [2]. Видно, что нестационарность заселенности ЛЭС наиболее ярко проявляется на начальном этапе релаксации в формах резкого излома зависимости  $W(V_g)$  и уменьшения скорости нарастания тока. Временная эволюция заселенности ЛЭС, очевидно, будет тем существенней, чем меньше концентрация мелкой примеси  $N_d$ . Иными словами, в отличие от случая, рассмотренного в [2-4], процесс релаксации ширины ОПЗ не описывается постоянной времени  $\tau_0$ , а становится двухстадийным. На начальной стадии характерное время релаксации равно  $\tau^* < \tau_0$  (см. (15)), а на конечной —  $p\tau_0$  (коэффициент  $p > 1$ , см. (17)), что и является надежным количественным критерием реализации условий нестационарной генерации неосновных носителей заряда. В таких условиях решение основной задачи исследования динамики отклика МДП структур в режиме линейного изменения  $V_g$  — задачи определения генерационного времени жизни  $\tau_g$  — может быть получено на основании соотношений (15) и (17) по графику функции  $W(V_g)$ , представленному в соответствующем масштабе, извлекаемой по методике [7] из экспериментальной зависимости от  $V_g$  высокочастотной емкости МДП структуры, измеряемой синхронно с зависимостью  $I(V_g)$ .

#### Список литературы

- [1] J.S. Kang, D.K. Schroder. Phys. St. Sol. (a), **13** (1985).
- [2] K. Board, J.G. Simmons. Sol. St. Electron., **20**, 859 (1977).
- [3] A.G. Nassibian, L. Faraone, J.G. Simmons. J. Appl. Phys., **50**, 1439 (1979).
- [4] X. Zhang. Semicond. Sci. Technol., **7**, 654 (1992).
- [5] P.G.C. Allman. Sol. St. Electron., **25**, 241 (1982).
- [6] X. Zhang. Sol. St. Electron., **34**, 43 (1991).
- [7] Е.И. Гольдман, А.Г. Ждан, А.М. Клочкова, Ю.В. Маркин. ФТП, **24**, 159 (1990).

Редактор Т.А. Полянская

### Dynamics of thermal generation of free carriers at semiconductor-insulator interface under relaxation of the volume generation center population

*S.G. Dmitriev, A.G. Zhdan, N.F. Kukharskaya, Yu. V. Markin*

Institute of Radio Engineering and Electronics, Russian Academy of Sciences, 141120 Fryazino, Russia